

АКАДЕМИЯ НАУК СССР

---

# КОСМИЧЕСКИЕ ИССЛЕДОВАНИЯ

Том XIII

(ОГДЕЛЬНЫЙ ОТТИСК)

3

УДК 553.152.2

*В. В. Безруких, К. Н. Гринмаз, Г. Н. Засленкер,  
М. З. Ходлов*

**НЕКОТОРЫЕ ХАРАКТЕРИСТИКИ СОЛНЕЧНОГО ВЕТРА,  
ПОЛОЖЕНИЕ УДАРНОЙ ВОЛНЫ, МАГНИТОПАУЗЫ  
И ПЛАЗМОПАУЗЫ В ПЕРИОД ВЫСОКОЙ  
СОЛНЕЧНОЙ АКТИВНОСТИ В АВГУСТЕ 1972 г.**

Приводятся результаты измерений параметров солнечного ветра, положения фронта околоземной ударной волны, границ магнитосфера и плазмосферы, выполненных с помощью ловушек заряженных частиц на спутниках «Прогноз» и «Прогноз-2». В соответствии с протекающим ударных волн от четырех солнечных вспышек, имевших место 2–7.VIII 1972 г., параметры солнечного ветра изменились в широких пределах (концентрация – более чем на два порядка, температура – более чем на порядок, скорость – не менее чем в три раза). Положение границ магнитосферы испытывало резкие изменения – от значительного сжатия (до  $6.3 R_{\oplus}$  в дневном секторе) до значительного расширения. Наблюдался ряд других особенностей, так практически совпадало местоположение магнитопаузы и плазмопаузы 4.VIII в 10.25 UT при  $L=6.7$ .

В период высокой солнечной активности в августе 1972 г. на ряде космических аппаратов исследовалась плазма в межпланетном пространстве и в магнитосфере Земли. Некоторые сведения о солнечном ветре уже опубликованы в предварительных сообщениях [1, 2]. В работе [3] приведены результаты плазменных измерений, выполненных на спутнике «Прогноз» с помощью электростатических анализаторов заряженных частиц, относящихся, главным образом, к начальной части рассматриваемого периода. В настоящей работе приводятся дополнительные сведения о солнечном ветре и ударной волне, а также данные о положении магнитопаузы и плазмопаузы в период 3–12.VIII 1972 г., полученные с помощью ловушек заряженных частиц на спутниках «Прогноз» и «Прогноз-2». Описание эксперимента дано в [4].

Спутники серии «Прогноз» имели сильно вытянутую орбиту с апогеем в северном полушарии на высоте около 200 000 км и перигеем (в рассматриваемое время) на высоте 1000–6000 км. Наклонение орбиты к плоскости экватора  $\sim 85^\circ$ .

Комплект аппаратуры на каждом спутнике позволял измерять:

- энергетические спектры ионов в диапазоне 0–4 кэв, по которым определялись скорость, концентрация и температура солнечного ветра,
- разность полных потоков ионов с энергией  $>40$  эв и электронов с энергией  $>70$  эв,
- разность полных потоков ионов с энергией, большей потенциала спутника, и электронов с энергией  $>70$  эв.

Сопоставление двух последних величин дает возможность определить концентрацию тепловых ионов в плазмосфере.

Полученные в рассматриваемый период данные отличаются своей сложностью и требуют тщательного анализа, поэтому в настоящем сообщении

представлены лишь предварительные результаты выборочной обработки данных.

На рис. 1–3 приведен временной ход параметров солнечного ветра, определенных для тех промежутков времени, когда хотя бы один из спутников был вне магнитосферы. Значения параметров приблизительно соответствуют средним значениям для часовых интервалов. При большой изменчивости ветра интервал усреднения уменьшался до получаса, а при малой увеличивался до 2 час.

Данные, представленные на рис. 1, описывают поведение плазмы во время прихода к Земле межпланетной ударной волны, по-видимому, от первой сильной вспышки, произошедшей 2.VIII в 3.18 UT [1]. В течение нескольких часов до указанного возмущения солнечный ветер отличался довольно стабильными значениями параметров при невысокой скорости (330–350 км/сек), но заметно повышенной против среднего значения концентраций протонов ( $\sim 20 \text{ см}^{-3}$ ). Приход межпланетной ударной волны, характеризующийся скачкообразным (за время не более 40 сек – разрешающая способность наших измерений) возрастанием скорости и концентрации ионов, был зарегистрирован на обоих спутниках в 1.16–1.18 UT 4.VIII, что совпадает (точность временной привязки наших датчиков  $\sim 1 \div 2$  мин) с моментом внезапного возмущения SSC (1.18–1.20 UT) по магнитограммам большого числа станций [2].

Величина запаздывания этого момента относительно указанной оптической вспышки (46 час) находится в разумном согласии с измерениями на аппарате «Пионер-9» (расстояние от Солнца 0,77 а.е., запаздывание па 33 часа) [1]. При этом средняя скорость ударной волны (в предположении ее сферичности) оказывается постепенно поникающейся в направлении от Солнца: 970 км/сек для «Пионера-9», 900 км/сек для окрестностей Земли.

Второе скачкообразное возрастание скорости, концентрации и температуры ионов зарегистрировано в 2.21 UT, что совпадает со вторым внезапным началом SSC [2]. В течение 3 час после этого величины указанных параметров солнечного ветра продолжают повышаться. Скорость ветра к 4 час UT составляет 580 км/сек. При этом общий перепад скорости после этих двух скачков 330–580 км/сек, что хорошо согласуется с данными «Пионера-9»: 350–585 км/сек [1]. Концентрация и температура ионов достигают в максимуме весьма больших величин: ориентировочно до  $150 \text{ ион см}^{-3}$  и до  $2 \cdot 10^6 \text{ }^\circ\text{K}$ , а затем постепенно спадают до 11 час UT, оставаясь, однако, очень высокими. Поток ионов достигает  $\sim 8 \cdot 10^6 \text{ ион см}^{-2} \cdot \text{сек}$ . Полученный ход температуры и скорости ионов хорошо совпадает с результатами работы [3], однако данные о величине потока солнечного ветра в [1–3] не приводятся.

Второй из временных интервалов, за который имеются данные о солнечном ветре, представлен на рис. 2. Он относится к периоду уже после при-

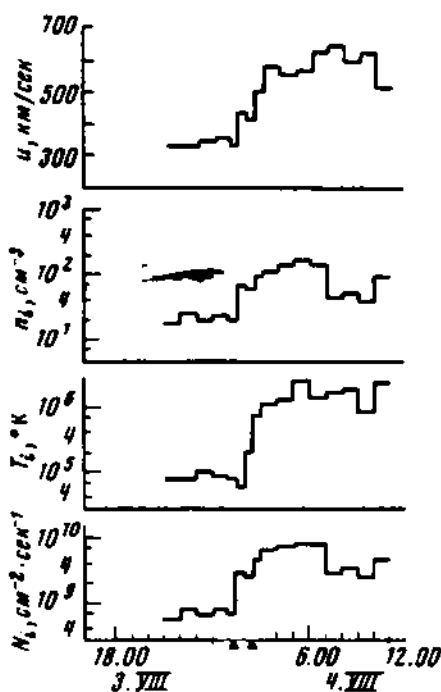


Рис. 1. Среднечасовые значения скорости солнечного ветра  $V$ , концентрации  $n_i$ , температуры  $T_i$  и полного потока ионов  $N_i$  в период 3–4.VIII 1972 г. Треугольниками на оси времени отмечены моменты SSC по [2]

хода к Земле межпланетных ударных волн от второй вспышки, начавшейся 2.VIII в 19.58 UT [1], и, может быть, от третьей сильной вспышки 4.VIII в 06.21. В это время концентрация ионов в ветре мала, а скорость настолько велика, что выходит за пределы измеряемого диапазона. Поэтому в течение большей части рассматриваемого периода по имеющимся данным можно лишь указать нижнюю границу скорости солнечного ветра, определить полный поток ионов и, исходя из оценки скорости, оценить верхнюю границу концентрации. По этим данным 5 и 6.VIII скорость ветра превышает 880 км/сек, а затем постепенно спадает до ~800 км/сек к 8.VIII.

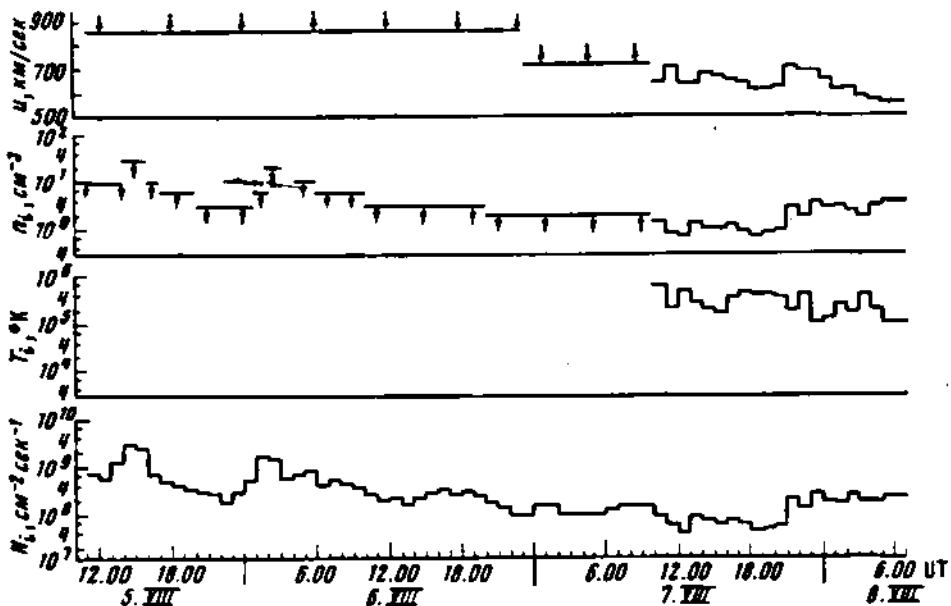


Рис. 2. То же, что и на рис. 1, в период 5–8.VIII 1972 г.

Обращает на себя внимание возрастание потока ионов после 23.00 UT 5.VIII. К 2.00 UT 6.VIII поток ионов увеличивается до  $\sim 2 \cdot 10^9$  ион/ $\text{см}^{-3} \cdot \text{сек}$ , а затем в течение 6 и 7.VIII медленно спадает до значения  $(5 \pm 7) \cdot 10^8$  ион/ $\text{см}^{-3} \cdot \text{сек}$ . При этом концентрация ионов уменьшается примерно до  $0.7 \text{--} 1.0 \text{ см}^{-3}$ , а потом начинает повышаться.

Необходимо иметь в виду, что вследствие ряда особенностей работы модуляционной ловушки при широких энергетических интервалах (см. [5, 6]) значения температуры, приведенные на рис. 1–3, представляют собой верхнюю границу температуры ионов, которая в действительности может быть в несколько раз меньше.

Данные для последнего из рассмотренных временных интервалов представлены на рис. 3. Подобно предыдущему этот интервал относится к периоду времени после прихода к Земле возмущения от четвертой сильной вспышки, начавшейся в 15.09 UT 7.VIII [1], и в своей начальной части характеризуется большим значением скорости солнечного ветра ( $>720 \text{ км/сек}$ ) и низкой концентрацией ионов.

Межпланетная ударная волна, зарегистрированная на спутнике «Прогноз-2» в 23.52 UT 8.VIII, и следующее за ней второе возмущение ветра в 00.35 UT 9.VIII проявляются в резком увеличении скорости (за пределы диапазона измерений) и температуры ветра. Возрастание потока ионов продолжается спустя 3 часа после первого возмущения и достигает величины  $1.5 \cdot 10^9 \text{ см}^{-3} \cdot \text{сек}^{-1}$  около 5.00 UT 9.VIII. После 10.00 UT 9.VIII поток ионов резко падает, а потом постепенно понижается скорость ветра

и возрастает концентрация ионов. К 12.VIII величина концентрации приближается к своему среднему значению ( $\sim 6 \text{ см}^{-3}$ ), но скорость ветра остается сравнительно высокой ( $\sim 600 \text{ км/сек}$ ).

С 1 по 12.VIII каждый из спутников совершил около трех оборотов вокруг Земли (период обращения  $\sim 96$  час) и, следовательно, неоднократно пересекал фронт околоземной ударной волны, магнитопаузу и плазмопаузу. На рис. 4 представлены в солнечно-эклптических координатах траектории «Прогноза» и «Прогноза-2» на трех последовательных витках их орбит. Для изображения на плоскости трехмерной конфигурации магнитосферы все точки орбит повернуты вокруг оси  $X_{SE}$  в плоскость эклиптики, как это сделано в [7].

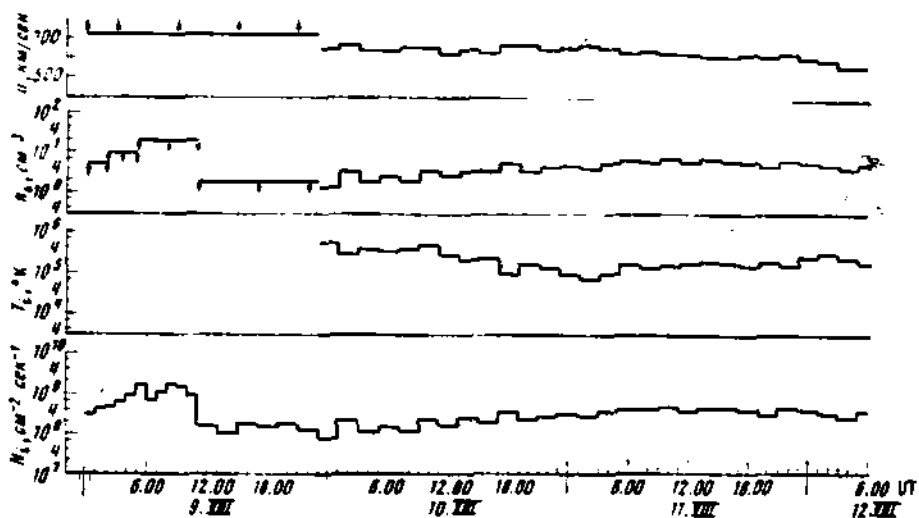


Рис. 3. То же, что и на рис. 1, в период 9–12.VIII 1972 г.

На каждом витке жирной линией отмечены участки, на которых регистрировались потоки плазмы, типичные для переходного слоя между магнитопаузой и фронтом околоземной ударной волны, а тонкой штриховой линией – участки в магнитосфере. Для сравнения приведены положения указанных границ по данным спутника IMP-1 [7], измерения на котором проводились также в период, близкий к минимуму солнечной активности.

Следует отметить, что в спокойное время по показаниям ловушек заряженных частиц пересечение этих границ в большинстве случаев индицируется достаточно четко. Положение фронта околоземной ударной волны отмечается как по резкому расширению энергетических спектров ионов, так и по регистрации значительных потоков электронов с энергией  $> 70$  эВ. При пересечении магнитопаузы поток ионов, измеряемый модуляционной ловушкой, резко спадает. Однако во время сильных возмущений солнечного ветра, когда температуры ионов и электронов возрастают и могут значительно увеличиваться потоки частиц внутри магнитосферы, индикация пересечения магнитопаузы и околоземной ударной волны в ряде случаев значительно затрудняется.

С учетом этих замечаний рассмотрим последовательность наблюдений, представленных на рис. 4 (моменты времени, соответствующие прокумированным точкам, указаны в табл. 1). Положение границ магнитосферы до 4.VIII, по-видимому, также отражает ряд возмущений солнечного ветра, имевших место в предыдущие дни (точки 1–4). В момент прихода к Земле сильной межпланетной ударной волне в 1.16–1.18 UT 4.VIII оба спутника находились в межпланетном пространстве на висходящей части

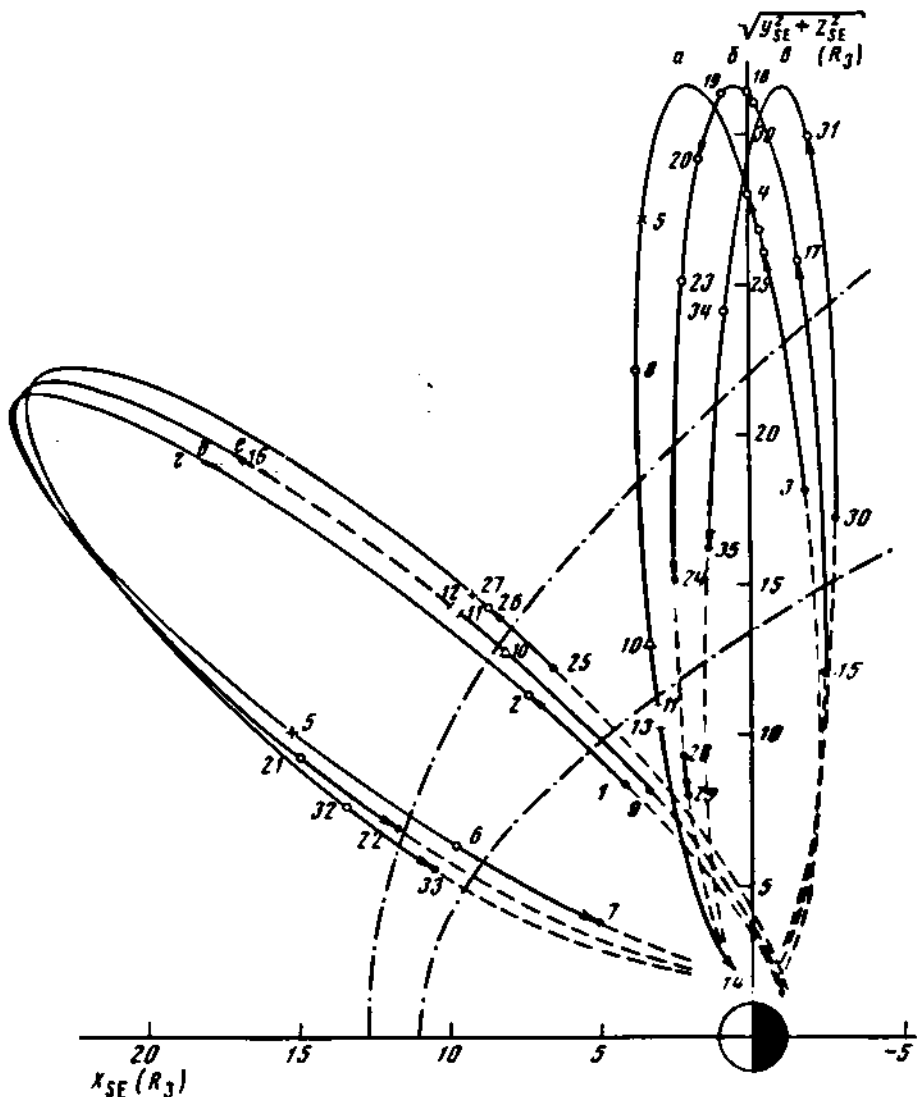


Рис. 4. Траектории спутников «Прогноз» и «Прогноз-2» в солнечно-эклиптических координатах

а, б, в — три последовательных эпизода спутника «Прогноз»; г, д, е — то же для спутника «Прогноз-2». Моменты времени для точек, отмеченные цифрами, приведены в табл. 1. Кружками обозначены положения фронта удовлетворительным волем. Точками — положения магнитоакусту

своих орбит (отмечены крестиками 5 на рис. 4). Положение фронта околоземной ударной волны в дневном секторе магнитосферы, зарегистрированное приборами «Прогноза-2» через 6 час после этого (точка 6), характеризуется приближением фронта к Земле (на расстояние  $11,5 R_3$  вместо среднего положения  $\sim 13,5 R_3$ ). Гораздо заметнее приблизилась к Земле магнитопауза (точка 7) — на  $6,3 R_3$  вместо обычного положения  $\sim 10,7 R_3$ . Это приближение связано, очевидно, с высокими значениями концентрации и скорости солнечного ветра в данный момент времени (см. рис. 1). Однако необходимо отметить, что по измерениям на спутнике «Прогноз» в утреннем секторе магнитосферы приближение фронта околоземной ударной волны к Земле в тот же момент времени не произошло (точка 8). Положение магнитопаузы в дневном секторе через 15 час несколько приближено к Земле (точка 9).

Таблица 1

№ точки	Дата	Время, UT	Примечание
1	31.VII	15.51	магнитопауза («Прогноз-2»)
2		18.48	фронт околоземной ударной волны «Прогноз-2»)
3	1.VIII	15.28	магнитопауза («Прогноз»)
4	2.VIII	7.28	фронт ударной волны («Прогноз»)
5	4.VIII	1.16—1.18	регистрация межпланетной ударной волны на двух спутниках
		1.18—1.20	SSC
6		7.14	фронт ударной волны («Прогноз-2»)
7		10.25	магнитопауза («Прогноз-2»)
8		10.49	фронт ударной волны («Прогноз»)
9		16.31	магнитопауза («Прогноз-2»)
10		20.54	SSC
11		22.40	внезапное увеличение потока ионов на обоих спутниках
12		23.11	юнонс возмущения («Прогноз-2»)
13		23.17	юнонс возмущения («Прогноз»)
14	5.VIII	3.53	граница регистрации потока ионов «Прогноз»)
15		10.48	магнитопауза («Прогноз»)
16		11.09	граница области резких возмущений «Прогноз-2»)
17	6.VIII	3.48	фронт ударной волны («Прогноз»)
18		21.07	То же
19	7.VIII	10.17	«
20		21.03	«
21	8.VIII	3.00	фронт ударной волны («Прогноз-2»)
22		6.35	магнитопауза («Прогноз-2»)
23		6.48	фронт ударной волны («Прогноз»)
24		19.51	магнитопауза («Прогноз»)
25		20.46	магнитопауза («Прогноз-2»)
26	8.VIII	23.26	фронт ударной волны («Прогноз-2»)
27		23.52	регистрация межпланетной ударной волны («Прогноз-2»)
28	9.VIII	00.35	магнитопауза («Прогноз»)
29		01.23	То же
30		16.22	«
31	10.VIII	15.43	фронт ударной волны («Прогноз»)
32	12.VIII	5.49	фронт ударной волны («Прогноз-2»)
33		8.42	магнитопауза («Прогноз-2»)
34		9.40	фронт ударной волны («Прогноз»)
35		19.54	магнитопауза («Прогноз»)

В момент внезапного начала SSC (20.54 UT 4.VIII по данным [2]), по-видимому, связанного с приходом к Земле межпланетной ударной волны оба спутника находились внутри переходного слоя (отмечено треугольниками 10 на рис. 4). Плазма в переходном слое в этот период характеризуется потоками высокой интенсивности с очень широкими энергетическими спектрами; заметного изменения показаний ловушек в указанный момент не наблюдалось. Однако через 1 час 46 мин после SSC на обоих спутниках зарегистрировано резкое возрастание потока положительных ионов, измеряемого ориентированной на Солнце ловушкой (точка 11). Природа этого возмущения, окончившегося через 30–35 мин (точки 12, 13), не ясна и требует более детального анализа и сопоставления с показаниями других приборов.

Явления, наблюдаемые после указанного возмущения, также отличаются своей сложностью. На висходящей ветви траектории спутника «Прогноз» все время вплоть до точки 14, лежащей очень близко к Земле (на  $2.3 R_{\oplus}$ ), регистрируются широкие энергетические спектры ионов (от 200 эВ до 4 кэВ) с интенсивностью потоков  $\sim 4 \cdot 10^1 \text{ см}^{-2} \cdot \text{сек}^{-1}$ . Возмож-

но, потоки плазмы внутри магнитосферы чрезвычайно выросли и определить по этим данным положение магнитопаузы не удается. Нельзя исключить также возможность того, что спутник «Прогноз» в этот период пересекал область дневного полярного каспа, чрезвычайно смеистившуюся под действием возмущений солнечного ветра, подобно тому как это отмечалось во время сильной магнитной бури 1.XI 1968 г. по данным работы [8]. Аналогично на восходящей ветви траектории спутника «Прогноз-2», отмеченной жирными штрихами на рис. 4, вплоть до точки 16, весьма удаленной от Земли (на  $26 R_{\oplus}$ ), регистрируются сильно изреанные и широкие спектры ионов в диапазоне от  $200 \text{ эв}$  до  $4 \text{ кэв}$  с интенсивностью потока, резко меняющейся от  $3 \cdot 10^7$  до  $\sim 3 \cdot 10^8 \text{ см}^{-2} \cdot \text{сек}^{-1}$ . Положение фронта околоземной ударной волны при этом также остается неопределенным. Ближайшее к этому моменту времени пересечение магнитопаузы (точка 15) расположено заметно ближе к Земле, чем среднее положение магнитопаузы.

Как видно из рис. 4, положения фронта ударной волны и магнитопаузы, зарегистрированные 6–8.VIII, когда концентрация ионов в солнечном ветре сравнительно мала (см. рис. 2), как и следовало ожидать, отличаются значительным удалением от Земли по сравнению с их средним положением (см. точки 17–25). Следует отметить, что положение фронта околоземной ударной волны в утреннем секторе магнитосферы 6–7.VIII испытывает значительные колебания (см. точки 17–20).

Перед приходом к Земле возмущений, связанных, по-видимому, с четвертой сильной вспышкой, спутник «Прогноз» находился внутри магнитосферы, а «Прогноз-2» только что пересек фронт околоземной ударной волны и вышел в солнечный ветер (точка 26). Момент регистрации межпланетной ударной волны на спутнике «Прогноз-2» (отмечен крестиком 27 на рис. 4) совпадает с первым моментом SSC в 23.54 8.VIII [2]. Во время второго возмущения ветра, совпадающего со вторым моментом SSC в 00.37 9.VIII [2], на спутнике «Прогноз», находившемся в утреннем секторе на расстоянии  $9.5 R_{\oplus}$ , зафиксировано быстрое движение к Земле магнитопаузы (точка 28). Затем в течение примерно часа «Прогноз» движется в переходном слое до расстояния  $8.4 R_{\oplus}$  (точка 29).

Положение границ магнитосферы 10–12.VIII, когда концентрация ионов невелика (см. рис. 3), также характеризуется заметным удалением их от Земли (точки 30–35).

Поведение плазмосферы в рассматриваемый период также обнаруживает ряд примечательных особенностей. На рис. 5 приведены значения концентрации тепловых ионов  $n_i$ , измеренные при трех прохождениях спутников «Прогноз» и «Прогноз-2» вблизи Земли в рассматриваемый период времени. Величина концентрации вычислена в предположении, что потенциал спутника относительно окружающей плазмы равен нулю, а температура ионов около  $10000^\circ \text{К}$  [9, 10], с учетом скорости спутника и ее ориентации относительно ловушки. На график нанесены точки, разнесенные друг от друга на  $1000 \text{ км}$ . Расчет  $L$ -координат проводится в дипольном приближении.

Рисунок 5, а соответствует прохождению спутника «Прогноз» через плазмосферу 1.VIII, т. е. до начала сильных вспышек. При движении спутника к Земле на высотах  $\sim 40000 \text{ км}$  (от поверхности Земли) регистрируются потоки электронов с энергией  $> 70 \text{ эв}$ . На высоте  $\sim 40000 \text{ км}$  ( $L=7-8$ ) потоки электронов спадают и начинается регистрация тепловых ионов. Сопоставляя показания ловушек, регистрирующих тепловые ионы и ионы с энергией  $> 40 \text{ эв}$ , можно утверждать, что при  $L \approx 7,3$  спутник пересек плазмопаузу. При дальнейшем приближении к Земле концентрация тепловых ионов растет, однако на высоте  $10000-9000 \text{ км}$  имеется минимум  $n_i$ , связанный, по-видимому, с пересечением плазмопаузы при увеличении  $L$ . Перигей (высота  $\sim 6000 \text{ км}$ ), величина  $n_i$  в котором близка к максимуму, соответствует  $L \approx 8,5$ , т. е. находится над высокоширотной об-

частью. При удалении от Земли плаэмопауза пересекается спутником на высоте 15 000 км при  $L \approx 4,1$ . К ней непосредственно примыкает область интенсивных потоков электропров с энергией  $>70$  эв. Описанная картина в целом довольно типична для спокойных условий.

Рисунок 5, б соответствует пролету «Прогноза-2» вблизи Земли 4.VIII 1972 г. При этом вход в плаэмосферу происходит на высоте  $\sim 34 000$  км ( $L = 6,7$ ) в 10.25 UT. Как показано выше, этот момент как раз соответствует

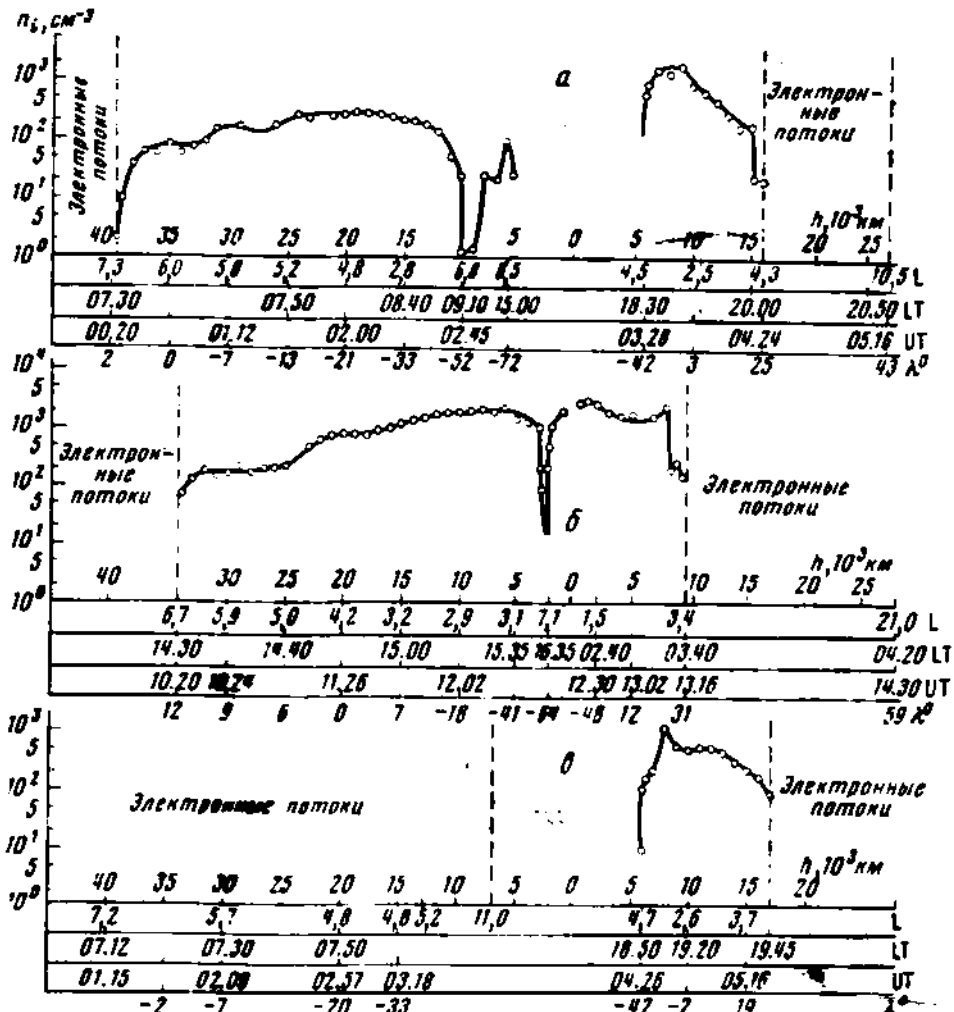


Рис. 5. Концентрация тепловых ионов вдоль орбиты спутника

a — 4.VIII 1972 г., спутник «Прогноз»; б — 6.VIII 1972 г., спутник «Прогноз-2»; в — 5.VIII 1972 г., спутник «Прогноз». Обозначения:  $\lambda$  — высота, LT — местное время, UT — всемирное время,  $\lambda$  — геомагнитная широта

ет пересечению спутником магнитопаузы (точка 7 на рис. 4), значительно приблизившейся к Земле под действием возмущения солнечного ветра от вспышки 2.VIII в 3.16 UT. Таким образом, здесь наблюдается весьма редкий случай — плаэмопауза совпадает (или очень близко) с магнитопаузой. С другой стороны, указанное положение плаэмопаузы почти не отличается от наблюдаемых в спокойных условиях.

При дальнейшем приближении к Земле на кривой рис. 5, б отмечен узкий и глубокий минимум на высоте 2300 км ( $L \approx 7$ ). Одновременно запертая для тепловых ионов ловушка регистрирует большие потоки электро-

нов с энергией  $>70$  эв. Поэтому можно полагать, что указанный спад концентрации тепловых ионов является лишь кажущимся и в действительности объясняется воздействием потоков электронов. При удалении от Земли плаズмопауза регистрируется на высоте 8000 км ( $L \approx 3,3$ ), а начало плаズменного слоя на высоте 9500 км ( $L \approx 3,4$ ), т. е. несколько ближе к Земле, чем в невозмущенных условиях.

На рис. 5, в показан ход  $n_i$  во время пролета вблизи Земли спутника «Прогноз» 5.VIII 1972 г., отличающийся рядом примечательных особенностей. Как показано выше, во время приближения спутника к Земле модуляционная ловушка вплоть до высоты 8300 км (точка 14 на рис. 4) регистрировала широкие энергетические спектры ионов, подобные спектрам солнечного ветра, наблюдаемым в переходном слое. Другие ловушки в это время регистрировали интенсивные потоки электронов с энергией  $>70$  эв во всей области высот от 40 000 км до перигея ( $\sim 6000$  км,  $L \approx 4,8$ ) и плаэзмосфера не наблюдалась. При удалении от Земли спутник вошел в плаэзмосферу вблизи перигея на высоте 6000 км ( $L \approx 4,7$ ) и пересек плаズмопаузу на высоте 17 000 км ( $L \approx 4$ ). При этом область интенсивных потоков электронов с энергией  $>70$  эв вплотную прилегает к плаэзмосфере. В табл. 2 представлены координаты и время всех пересечений плаズмопаузы, зарегистрированных с 31.VII по 12.VIII.

Таблица 2

Дата, 1972 г.	UT	LT	$L$	$\lambda, \text{град}$	Спутник
1.VIII	00.37	7.40	7.6	0	«Прогноз»
	02.42	09.00	6.7		
	04.21	20.00	4.0	23	
	03.29	08.20	5.3	-41	
5.VIII	04.26	18.30	3.7	-42	«Прогноз»
	05.25	19.45	4.3	23	
	03.46	07.30	4.6	-21	
9.VIII	04.13	07.50	4.9		«Прогноз»
	05.31	18.20	3.8	-43	
	06.13	19.30	4.3	21	
31.VII	09.18	14.40	7.5	13	«Прогноз-2»
	12.41	03.50	5.1	41	
4.VIII	11.23	14.30	6.6	12	«Прогноз-2»
	14.00	03.20	2.8	27	
8.VIII	11.00	14.15	6.5	14	«Прогноз-2»
	14.29	03.20	5.3	39	
12.VIII	12.30	14.10	5.7	13	«Прогноз-2»
	15.13	03.06	4.9	36	

Таким образом, рассмотрение результатов плаэзменных измерений в указанный период позволяет сделать некоторые выводы.

Параметры солнечного ветра меняются в широких пределах (концентрация ионов — более чем на два порядка, температура ионов — более чем на порядок, скорость ветра — не менее чем в три раза) в соответствии с приходом ударных волн от четырех сильных вспышек, произошедших 2–7.VIII. Периоды резкого возрастания указанных величин, начинаящиеся с приходом ударной волны, сменяются периодами более медленного восстановления нормальных значений.

Положение границ магнитосферы испытывает резкие колебания — от значительного сжатия (магнитопауза на расстоянии  $\sim 6,3 R_\oplus$  в дневном секторе) при высоком давлении солнечного ветра до заметного расширения, особенно в утреннем секторе.

4.VIII в 10.25 UT наблюдалось практическое совпадение в месте наблюдения магнитопаузы и плаэзмопаузы при  $L \approx 6,7$ .

5.VIII в течение длительного времени потоки ионов с энергетически ми спектрами, подобными спектрам в переходном слое за фронтом удар-

ной волны, наблюдалась внутри магнитосферы вплоть до малых расстояний от Земли (до высоты ~ 8300 км). Во всей этой области плазмосферные ионы не регистрировались.

Авторы благодарят О. С. Акентьеву, В. С. Мокрова, Г. К. Попову за помощь в расчетах.

Дата поступления  
29 апреля 1974 г.

#### ЛИТЕРАТУРА

1. Preliminary compilation of data for retrospective world interval July 26 – August 14, 1972, Report UAG-21, Nov. 1972.
2. Solar Geophysical Data, No. 338, 1, 1972.
3. В. В. Теллый, А. А. Зерцалов, О. Л. Вайсберг, Ю. Е. Березин. Космич. исслед., 12, № 1, 74, 1974.
4. В. В. Безруких, А. П. Беляшин и др. Геомагнетизм и аэрономия, 14, № 3, 309, 1974.
5. Г. Н. Волков, Г. Н. Застенкер, В. Ф. Комылов, А. П. Ремизов, М. З. Хохлов. Космич. исслед., 8, № 3, 423, 1970.
6. Г. Н. Застенкер, М. З. Хохлов. Космич. исслед., 11, № 3, 451, 1973.
7. N. Bridge, A. Egidi, A. Lazarus, E. Lyon, L. Jacobson. Space Res., 5, 969, 1965.
8. C. T. Rassel, C. R. Chappel, T. D. Montgomery, N. Neugebauer, F. L. Scarf. J. Geophys. Res., 76, No. 28, 6743, 1971.
9. K. I. Gringauz, V. V. Besrukikh, L. S. Musatov, R. Ye. Rybchinsky, E. K. Solomatina. Space Res., 6, 850, 1965.
10. К. И. Грингауз, В. В. Безруких, Т. К. Бреус. Космич. исслед., 5, № 2, 245, 1967.